

第二屆和平利用原子能國際會議文獻

核燃料和废物处理

2

中国科学院原子核科学委员会編輯委員會編輯
科学出版社出版

核燃料和废物处理(2)

中国科学院原子核科学委员会编辑委员会编

*

科学出版社出版 (北京朝阳门大街 117 号)
北京市书刊出版业营业登记证字第 061 号

中国科学院印刷厂印刷 新华书店总经售

*

1960 年 1 月第一版
1960 年 1 月第一次印刷
书号：2058 字数：80,000
(京) 0001-4,000
开本：787×1092 1/16
印张：2 3/4 插页：5

定价：0.63 元

目 录

- | | | |
|--------|---------------------------|-------|
| P/179 | 鈾化学富集物的精制及氧化鈾和金属鈾的生产..... | (1) |
| P/1587 | 钚的有机絡合物在有机介质中的解离作用..... | (7) |
| P/2307 | 制造工艺对鈾的組織和性質的影响..... | (10) |
| P/2404 | 二氧化鈾的性質..... | (23) |

鈾化学富集物的精制及氧化鈾和金屬鈾的生产*

R. 狄林(R. Gelin) H. 莫根德(H. Mogard) B. 納尔遜(B. Nelson)†

这篇文献介绍了在斯德哥尔摩(Stokholm)原子能股份公司(AB Atomenergi)为了从四价鈾的磷酸盐化学富集物中生产氧化鈾和金属鈾所使用的方法。在前次日内瓦会议的文献^[1]中已经叙述过这种鈾化学富集物的生产方法。

在图1中表示出的化学过程简单流程，是以将四价鈾的磷酸盐化学富集物转变成高纯度的三氧化鈾。其中两个被称为碱性溶解和碳酸盐化过程的阶段，是阿·士特林(O. Stelling)教授及其同事从1949—1951年间在斯德哥尔摩皇家技术研究所无机化工系发展起来的。

适用于烧结式的UO₂的生产和鈾金属锭的生产，现在差不多成了一种标准的过程。在该公司里还原和氟化的技术是被发展了。为了将氟化物还原成鈾金属所采用的技术，虽然基本是法国的方法，但略有改进。

鈾化学富集物的精制

碱性溶解

鈾化学富集物的主要成份给出在表1中。鈾是以四价鈾的磷酸盐存在。碱性溶解的目的，是借助于四价鈾的磷酸盐转变成四价鈾的氢氧化物及容易溶解的磷酸钠以除去磷酸，按照这一反应



表1 铀的化学富集物

	%
U	36.0
Al	3.9
Fe	0.8
R.E. 大约	0.04
PO ₄	31.7

这一溶解是用2N的氢氧化钠溶液在95°C分两个阶段进行。苛性钠的用量是2.5公斤/公斤U。而溶解时间是每一阶段二小时。

磷酸盐的大部份是在阶段“Ⅰ”溶解，而仅仅其中一小部份是在阶段“Ⅱ”溶解，在阶段“Ⅱ”氢氧化钠的消耗是非常少的。因此，在阶段“Ⅱ”已经分离出四价氢氧化铀的溶液可以送到阶段“Ⅰ”去，而后能够给氢氧化钠浓度一个少量的调整。

这种四价铀的氢氧化物很难过滤，因此，使四价铀的氢氧化物与磷酸钠溶液分开是用

* 第二届和平利用原子能国际会议文献，A/CONF.15/P/179，瑞典，1958年5月19日，原文：英文。

† 瑞典，斯德哥尔摩，原子能股份公司。

精 制 流 程

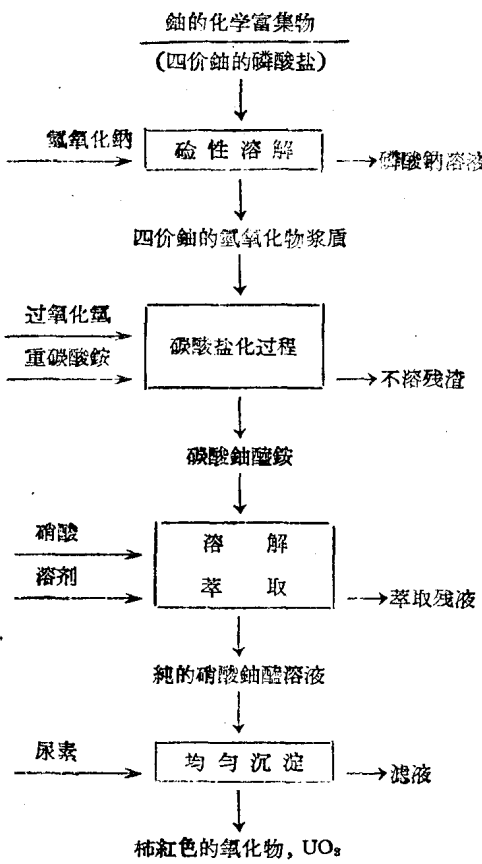


图 1 精制流程图

沉淀和倾注法。在阶段“II”以后四价铀的氢氧化物沉淀是用水洗涤二次。

表 2 中给予了从碱性溶解产品的一个干燥试样主要成份的分析。与这种铀化学富集物的分析(表 1)相比较,显示出这种碱性溶解具有大大减少磷酸和铝两者的作用。

表 2 四价铀的氢氧化物

	%
U	58.7
Al	0.3
Fe	1.4
R.E. 大约	0.04
PO ₄	1.7

碳酸(盐)化过程

从碱性溶解过程所得到四价铀的氢氧化物浆质,是用过氧化氢氧化并用重碳酸铵在60—70℃处理一小时。铀的绝大部分是被溶解而杂质却大量留在不溶解的残渣中。这种残渣很难过滤。矽藻土是被使用作为一种助滤物。

在这一过程中,一些少量的氟化钠是被加入,加入氟化钠是因为它可能非常有效地减少稀土在溶液中的浓度。

滤液包括洗涤液一同流入结晶器。用加入重碳酸铵以及冷却这溶液到大约10℃,碳酸铀酰铵($(\text{NH}_4)_4 \text{UO}_2(\text{CO}_3)_6$)便被结晶出来。在结晶以前这种溶液中铀的浓度大约是

50 克/升，而結晶以后是 1.5—3.0 克/升。这种結晶产物是被过滤出来并用饱和的重碳酸銨溶液洗涤。大約 50 % 的滤液是被循环在这一过程中，而其余的是用如下的方法处理。这种溶液的 pH 值是借助于硫酸的加入被減小到 5，并将溶液煮沸。二氧化碳被煮沸而赶出，鈾則被沉淀成鈾盐被过滤出来，并被重新循环到溶解在重碳酸銨溶液中。

从碳酸盐化过程所得到不溶解的殘渣中含有大量的鈾，为了将鈾提取出来，所以把它送回到油頁岩鈾矿的浸出工段。一个碳酸鈾鹽鉻的試样分析是給出在表 3 中。具有高的中子吸收截面的杂质浓度是低的。

表 3 从碳酸鈾鹽鉻得到的 UO_3

	含量为 ppm
B	< 0.5
Cd	< 1
Co	< 3
Mn	< 3
V	40
Ni	< 3
Cr	3
Cu	9
Fe	~ 100
Na	< 1000
Ca	~ 100
Ba	少量
P	< 30
Si	少量
Sn	< 3
Mg	20
Pb	< 3
R. E.	检查不出

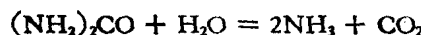
溶剂萃取

从碳酸盐化过程中所得到的碳酸鈾鹽鉻是溶解在硝酸中并加入硝酸鈣，得到一个每升大約含有 200 克鈾，0.7 M 的游离 HNO_3 酸及 3 M $\text{Ca}(\text{NO}_3)_2$ 的溶液。这种溶液是用甲烷异丁酮 (hexone) 萃取在一个多級混合萃取柱中。有机相对水相的流速比大約是 1。在有机相中的鈾再用蒸馏水剝下(反萃取)。有机相对水相的流速比也大約是 1。这种萃取柱是一根六英寸直径的玻璃 (Pyrex) 管，带有不锈钢的隔板、折流板以及推进器 (叶輪)。液流是从不锈钢的压容器供給，其流速是用轉子流量計測定。

均匀沉淀

这种从溶剂萃取的硝酸溶液中的鈾，具有足够高的純度。为了将它轉化适用于干法 (氟化) 过程，采用了均匀溶液沉淀法。

这一过程的基本反应是氨基甲酸 (carbamide) 在高温时水解：



二氧化碳从这一酸性的硝酸鈾鹽鉻溶液中逸出，而氯則被抑制，引起一个 pH 值慢慢均匀地升高以及鈾盐的沉淀。

这种均匀沉淀是以每批 150—200 公斤鈾，在一个装有蒸汽套管加热的反应器中，在激烈攪拌的情况下进行。

从萃取来的酸性硝酸鈾鹽溶液的 pH 值是被調節到 2.5—3，以及大約每公斤鈾一公

斤尿素(urea)是做成过滤液被加入。这种溶液被加热到沸腾并保持二小时，沉淀即被完成。这种沉淀是容易过滤的。

这种滤液中含有较少于10毫克U/升。这种铀盐是在一个浅盘式炉(tray-furnace)中，在大约250°C被转化成UO₃。从这一过程得到一种非常适用于继续处理的粉末。

表4表示这个纯氧化物的分析，杂质的浓度已经被减少到一个非常低的水平。

表4 从均匀沉淀得到的UO₃

	含量为 ppm
B	< 0.5
Cd	< 1
Co	< 3
Mn	< 3
V	< 3
Ni	< 3
Cr	< 3
Cu	< 3
Fe	15
Na	< 100
Ca	< 100
Ba	少量
P	< 30
Si	极少量
Sn	< 3
Mg	< 3
Pb	< 3
R.E.	检查不出

氧化铀及金属铀的生产

这里采用的程序是：1. 煅烧的UO₃用氩气还原；2. UO₂的“干法”氟化；3. UF₄的钙还原法及4. 最后U锭在高真空中熔铸。UO₂产品的一部份是进一步处理成氟化物及金属，而它的另一部份是被用作氧化物的烧结。

UO₃的氩气还原

煅烧好的UO₃是用氩气还原成UO₂，温度大约在625°C或800°C。视这种氧化物随后将被用作氟化或烧结的目的而定。还原是在一个连续操作的炉子(图2)里进行。这种粉状氧化物是慢慢地供给通过一个微微倾斜的，从外面加热的旋转耐热钢管，这样大约10公斤这种粉状物的装料将在稳定的搅拌下向前移动。氩气过量大约1.5倍于化学计算量，在一个对流的方向通过氧化物层。放出的气体在空气中燃烧，而任何铀尘是随后通过湿的过滤系统而除去。氧化物粉装入旋转管是用一个螺旋输送机在一个不锈钢的给料漏斗底下操作，煅烧的UO₃是间歇地装入给料漏斗中。在炉子的卸料端，UO₂粉是连续地从旋转管放入一个能够在一定时间间隔更换的铝制容器中。这个炉子的单位容量大约是25公斤UO₂每小时。

在还原温度下，均匀沉淀得到的UO₃，是很快地在移动而不会形成任何硬的聚结块。为了以后的氟化，这种UO₂是有意地生产成一种活性的状态。因此，它必须保持在一种非氧化性(CO₂)的气氛下。这种UO₂粉已被确认是很好适用于直接烧结，因此不需要另外细分。原来UO₃“微粒”的外形仍被保留。每一个UO₂的“微粒”具有一个平均的大小

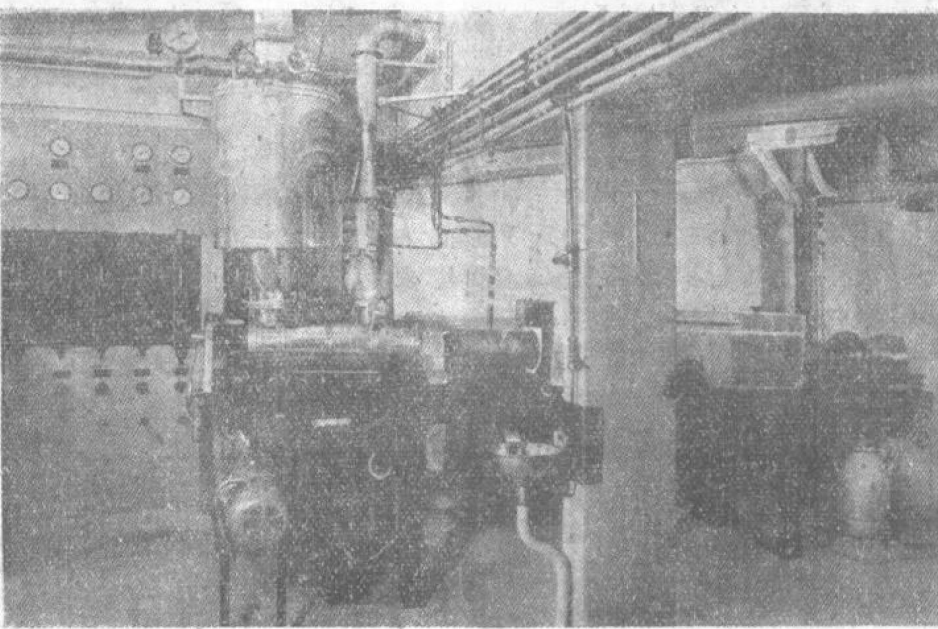


图 2 生产 UO_2 的还原炉外觀圖

在左边可以看到垂直的圓筒狀的不銹鋼料斗，裏面包含煅燒好的 UO_3 粉。在料斗下面有一個螺旋輸送機，通過水平的熱絕緣圓筒狀部分，把料粉輸送到爐中。這個爐子帶有它微微傾斜的耐熱鋼管，是表示在圖的中部。

在右邊是爐子的卸料端，在該處裝有 UO_2 容器。注意燃燒放出氣體的火苗在緊靠着左邊 UO_3 料斗的右面。

約 40 微米，而是由一些大約 1 微米大小或更小些的極細的氧化物晶體所組成的球狀聚結體。這種 UO_2 的燒結方法是詳細記述在另一文獻^[2]中，同樣被提供到這次會議上。

UO_2 的“干法”氟化

UO_2 的氟化是約在 450°C 在一個預熱的 HF 氣流下，在一個連續操作的，按照前面所敘述過的還原爐同樣普通的原理所建造的爐子中進行，在這種情況下，雖然反應速度很慢，但仍然獲得了至少每小時 10 公斤的產量。值得注意這兩個爐子在大小方面可以相比擬。

進入的 HF 氣體必須預熱到 250°C 以增加反應速度，而要求氟化氫氣體的過量是大約二倍於化學計算需要量。放出的氣體中含有大量的 HF 是被中和在一個滌氣器系統中，用 5% 的 NaOH 水溶液循環。為了保持在爐子系統中的壓力平衡，在 HF 氣體中加入一些氮氣。

這個過程聯繫到一些技術上的問題，首先是對爐子暴露在熱的 HF 氣體中的材料的腐蝕必須考慮。這個困難已經克服，是用純的金屬鎂作為旋轉鋼管的內衬材料，同樣對氣體預熱器及螺旋給料機也是這樣。任何鎂沾污氟化物產品是沒有危害的。另一個問題是關於旋轉管與爐子的靜止端部分中間要求密封。這個問題在現在這種爐子設計中以採用正氣壓密封的原理解決了。一個二氧化碳的正壓是被維持在內部的聚氯乙烯 (Teflon) 密封環與外部的橡皮密封環之間。

同 UO_2 一樣， UF_4 粉末也繼承原來 UO_3 粉末微粒的形狀。其松裝密度非常低，大約 1.9 克/立方厘米，而顆粒大小分布範圍也極有限。這種產品的純度對於氧氣來說是非常低的， UO_3 及 UO_2F_2 的含量是每個都少於 0.5%。

对于这种炉子的操作，在我們 3—4 年中的經驗證明是十分好的，而且很明显，它适用于大規模的 UO_2 及 UF_4 的生产。德国狄庫薩 (Degussa) 公司現在正在制造这种类似設計的商业联合規模的設備。

UF_4 的鈣还原法

用鈣还原 UF_4 成 U 金属与“鋁热法”相似，是一个不連續的过程。粉状氟化物与 4—5 毫米的金属鈣粒，在一个按重量計 10% 的过量，均匀地混合，一小份一小份地装料在一个圓筒状的，带有一个漏斗形状的燒結氟化鈣的坩埚（內徑 90 毫米）底部的石墨容器（內徑 350 毫米）中。这个反应罐是密封在一个不銹鋼的容器中，在反应开始之前把它抽真空并用氩气充入到 0.8 大气压。当鋁热式混合物燃烧时压力将升高到 1.2 大气压以上时，鋼容器上装载弹簧的頂蓋将自动打开通入大气中。

在正常的每批操作中，允許每次还原一个 30 公斤的錠子。这个流程的生产率大約是 98%，一个代表性的分析写明如下：C 100 ppm, Si 80, Fe 50, N 30, 以及 B 0.15 ppm. 一个完全的分析是給出在表 5 中。在石墨容器的内表面上，涂一薄层的 MgO 保护层，可使碳的吸入量化为最小。这种石墨容器装置能重复使用 20—30 次。

表 5

B	0.15	ppm	Na	< 100	ppm
Cd	< 1	ppm	Ca	< 100	ppm
Co	< 3	ppm	Al	< 250	ppm
Mn	3	ppm	P	< 30	ppm
N	30	ppm	Si	< 80	ppm
V	< 3	ppm	Sn	< 3	ppm
Ni	6	ppm	Mg	5	ppm
Cr	< 3	ppm	Pb	< 3	ppm
Cu	7	ppm	C	100	ppm
Fe	40	ppm			

真空熔炼及鑄造

这种鉨块是在一个 Al_2O_3 衬里的石墨坩埚中，在高真空下重新熔炼，而浇鑄在一个石墨或鋼的模子里。这里所使用的是狄庫薩公司制造的一种傾倒式炉，是用石墨电阻元件加热，同时为了模子的預热是供給一个預熱線圈。在每一次熔炼中是浇鑄 400 毫米长，30 毫米直径的鉨棒四个一组，相当于 30 公斤的鉨。一次熔炼周期大約持續 5 小时。如浇鑄一种尺寸較小的鉨棒，大約 12 毫米直径的鉨棒而是每七个一批，已經同样成功地生产了。

致謝

在这里所叙述的工作，是在原子能股份公司的工程师以及在研究工作中一道直接参加操作的同志共同努力的結果。作者謹此表示謝意，特別是 S. 弗雷茨恩 (S. Franzén), K.-A. 蒋呆特 (K.-A. Hijelte), R. 克士林 (R. Kiessling), E. 斯福恩克 (E. Svenke), S. 斯福索恩 (S. Svenson)，和 G. 杜德恩 (G. Tydén) 等先生。

參 考 文 獻

- [1] Svenke E.: Recovery of Uranium from Uranium Bearing Alum Shale; P/ 784, Geneva Conf. (1955).
- [2] Runfors U., Kiessling R., and Schönberg N.: The Sintering of Uranium Dioxide; P/142, Geneva Conf. (1958).

[刘希澄譯]

鉵的有机絡合物在有机介质中的解离作用*

M. Taube†

本研究工作的目的是要探讨纸上电泳法在鉵络合物在有机介质中(条件类似于实际萃取过程中所常用的)解离作用研究中的适用程度。在实际萃取过程中,水相的硝酸浓度可以是 $5-6 M$ 。因此,从解离的酸萃取剂的络合物在有机相的电导机理中的压制作用看来,以导电为基础的方法在这里是不能适用的。

自由电泳需用大量的鉵。如果采用纸上电泳技术并结合应用 α -扫描测量则仅需用极少量的鉵。纸上的电渗,浓度变化,吸附及解吸循环等可能限制被记录的迁移率的意义,这点是考虑到的。然而这种方法对于半定量的工作来说,被认为是可用的。为了核对纸上电泳法的操作,可以用常量鉵的自由电泳来作为比较实验。

实 验

电渗是以鉵片接触在相当高的电位梯度^[1]的纸的表面上来实现的。采用封闭的装置,以限制其蒸发作用,并将此设备放置大气中,保持其温度在 $10-14^\circ\text{C}$ 间。

在非标记的磷酸三丁酯(TBP)中,用 P^{32} -磷酸三丁酯作为电渗的指示剂。在甲基异丁基酮中以胡蘿卜素为电渗测定剂,在应用三氯甲烷作为介质时则不必用指示剂。

所采用的化学试剂都是化学纯的,硝酸鉵溶液是在本实验室中溶解高纯度金属鉵而制成的。鉵溶液的浓度为 $2 \times 10^{-5} M$, 鉵溶液的浓度为 $0.1 M$ 。

纸片上的鉵是用 α -扫描测量来测定,而鉵可用 $\text{K}_4\text{Fe}(\text{CN})_6$ 的颜色反应来测定。在自由电泳中鉵可在滤纸上用 $\text{K}_4\text{Fe}(\text{CN})_6$ 滴点法来测定。

在所有情况下有机相是同 $5-6 M$ 硝酸水相处于平衡。

纸上电泳的条件:

Whatman No. 1 滤纸,水平纸条为 28×3 厘米

电压梯度: 15—180 伏/厘米

两电极间距离: 20 厘米

纸条上所载溶剂量,从对 TEP 用 500 微升到对 CHCl_3 用 1200 微升

时间: 30—120 分钟(正常工作)

1200 分钟(特殊工作)

自由电泳的条件:

玻璃容器,容积为 8 毫升

电压梯度: 30—50 伏/厘米

电极区域与电泳区域用 G 3 多孔玻璃隔开

* 第二届和平利用原子能国际会议文献, A/CONF.15/P/1587, 波兰, 1958 年 6 月 25 日, 原文: 英文。

† 波兰原子能研究所, 放射化学部。

两电极間距离：11厘米

时间：100—300分钟

結果与討論

TBP相

在含有少量水和通常并不含 HNO_3 的 TBP 中，象分光光度法或电导法测定所表明的，鈾与钚化合物的解离度是很小的^[2,3]。

TBP 的相当高粘度 [3.4 厘泊 (cp)] 与低电介常数 (純 TBP 为 7.8, 水饱和过的 TBP 为 14) 对于精确的迁移研究是不利的。采用 180 伏/厘米超过 1200 分钟不能表明钚放射性的无疑的迁移。

在 50 伏/厘米与 200 分钟的条件下，硝酸鈄酰在磷酸三丁酯中的自由电泳表明在电极区域完全沒有鈄的存在，而在 1200 分钟后，由于扩散的结果，在两个电极区域发现有等量的鈄存在。

因此，采用目前的方法，对于磷酸三丁酯中钚与鈄來說要用本方法来揭示迁移，那是太小了。在这些情况中所有絡合物的解离度都可能是很低的。

甲基异丁基酮相

在酮类中当存在硝酸时，硝酸鈄酰的分光光度测定表明有三硝基鈄酰絡合物存在^[4]。

当电压为 15 伏/厘米时， α -放射性向阳极迁移約为 10 厘米。由于采用胡蘿卜素表明甲基异丁基酮在这种条件下的电渗运动是可忽略的，因此就不需要作电渗的校正。所記錄的迁移率的定量意义是可疑的，因为明显的尾巴表明了紙上显著的吸附与解吸作用被記錄的前部的迁移率为 10^{-5} 厘米²/秒·伏，对于环己酮与糠醛來說亦記錄到相似的阴离子迁移率。

在 40 伏/厘米及 100 分钟時間的条件下，甲基异丁基酮中鈄的自由电泳，表明在阳极区域存在有鈄。延长时间，只能导致阳极区域鈄进一步地加浓，而鈄并不轉向阴极周围。

可以認為在这样的情况下钚至少有一部分是以在电場中不迁移的絡合阴离子存在着：

含有硝酸四丁基銨 (TBAN) 甲基异丁基酮相

在含有 TBAN 甲基异丁基酮中，鈄的自由电泳表明有 99.9% 的鈄迁移至阳极^[4]。在这种条件下，分光光度测定表明有三硝基鈄酰絡合物的存在。

在甲基异丁基酮中含 TBAN 浓度范围在 $0.3M$ 至 $10^{-2}M$ 时可得前部的阳极迁移率为 10^{-4} 厘米²/秒·伏。在这种情況沒有显著的尾巴。

在 40 伏/厘米与 100 分钟的条件下，鈄的自由电泳表明，只在阳极区域有鈄的存在。

含有 TBAN 的氯仿相

在有机介质中钚-TBAN 化合物的电泳是在氯仿中进行的 (初步实验已証明 Pu-TBAN 在 CCl_4 中的分配系数要比 Pu-TBAN 在 $CHCl_3$ 中的小几个数量級，因此 CCl_4 就不試驗了)。

在 TBAN-甲基异丁基酮所选用的条件下，阳极迁移率为 10^{-4} 厘米²/秒·伏，而沒有明显的尾巴。不包括电渗的校正。

在 TBAN- $CHCl_3$ 中鈄的自由电泳，給出清楚的阳极迁移。

在这些情况中可認為在有机相所含阴离子对生成大量的有机阳离子与硝基鉵絡合阴离子。实验的結果表示这些离子对部分地解离。

結 論

从以上情况可以看出，鉵与鈾的有机絡合物的解离度对于要用紙上电泳法来得出在甲基异丁基酮，酮， $\text{CHCl}_3 + \text{TBAN}$ ，甲基异丁基酮 + TBAN 中的肯定的迁移率來說是足够的了。在这种条件下于 TBP 中的迁移率是不能测定的。

为使此法能用于具有說明能力的迁移率测定上，还必須做一些工作来解决吸着过程的影响等因素，特別是用鉵絡合物在自由电泳中的准确迁移率的测定来校定此方法，这就需要使用足够数量的鉵以使得从自由电泳仪中迁移路程的各点上所取来的少量液体样品可以用放射性測量法来测定。

參 考 文 獻

- [1] McDonald H. J.: *Ionography* The Year Book Pub. Chicago, 1955.
- [2] McKay H. A. C.: *Tri-n-butyl phosphate as an extracting agent for the nitrates of the actinide elements* Proc. Int. Conf. At. Energy Geneva 1955, P/441.
- [3] Best G. F., McKay H. A. C., Woodgate P. R.: *Tri-n-butyl phosphate as an extracting solvent for inorganic nitrates. III. The plutonium nitrates.* J. Inorg. Nucl. Chem. 4, 315—20 (1957).
- [4] Kaplan L., Hildebrand R. A., Ader M.: *The trinitrouranyl ions in organic solvents* J. Inorg. Nucl. Chem. 2, 153—63 (1956)

【沈劍涵譯】

制造工艺对铀的组织和性质的影响*

Сергеев Г. Я., Титова В. В., Николаева З. П.,
Каптельцев А. М., Калобнева Л. И.

引言

在原子反应堆中，铀的制品是在高温及复杂的应力条件下工作的。因此，研究与在反应堆内利用的条件相联系的铀的组织和性质是一系列原子动力工程的中心問題之一。

在鑄造状态或在 γ -区塑性变形后，铀是粗晶粒的、比較硬的，同时具有不高的强度（强度极限为 30—50 公斤/毫米²）和很低的塑性（延伸率——5%）。除此之外， α -铀具有非常显明的物理和机械性质的各向异性。在輻照的作用下，形状的改变也为铀的制品所固有。

因此，解决提高制品在反应堆中工作期限的問題是与在必要的方面解决铀的结构和性质变化的任务相联。

人所共知，改变純金属的结构和性质主要的是热处理、变形及随后的再结晶退火、合金化。所有这些方法通常也应用于铀。

下面，叙述鑄造或热軋的铀，經過热处理（淬火），以及經過变形和在 α -区的温度退火，组织及机械性质变化的某些研究結果。

I. 鑄造和热軋铀的组织和机械性质

尺寸为 1.5—2 毫米的鑄造或热軋铀的晶粒是由大小为 200—500 微米的亚晶粒（субзерно）組成（图 4a）。亚晶粒在結晶位向上的差別不超过 5—10°。

不同炉号铀的机械性质（在 20—850° 温度范围内短时拉伸試驗确定的結果）列举于图 1。試驗用的試样是标准的圓柱形試样：工作部分的直径 5 毫米；工作部分的长度 25 毫米。强度极限和延伸率变化的范围很寬是由于各种炉号金属中杂质含量的变动所致。

随着温度在 α -区由 20° 提高到 670°，在塑性增长的同时强度降低了。應該指出，在 20—100° 的溫度間隔內屡次觀察到铀的强度特性有反常的变化。强度极限的数值，随着温度由 20° 到 100° 的变化而增加，但是屈服极限的数值則降低了。

随着轉变到 β -相的溫度区域，觀察到强度极限的增加和塑性的降低。当轉变到 γ -区时发生了强度的急剧下降和塑性的增长。

在中子場内长期停留时，铀的制品在应力的作用下发生变形。該应力是由于在制品內存在溫度梯度及由于裂变的行为形成热峯的結果而产生。

这样，研究依赖于材料状态和試驗条件的铀的抗蠕变性提供出一定的兴趣。

* 第二届和平利用原子能国际會議文献，A/CONF.15/P/2307，苏联，原文：俄文。

鑄造或熱軋鈾的蠕變是在 20—600° 的溫度範圍內各種不同的應力下研究的。試驗的時間在高溫時相當於 700—1000 小時，而在室溫時小於 6000 小時。高溫時蠕變是在淨化過的氮氣中研究的。所用的試樣是標準的圓柱形試樣：工作部分的直徑為 10±0.05 毫米；工作部分的長度為 100 毫米。

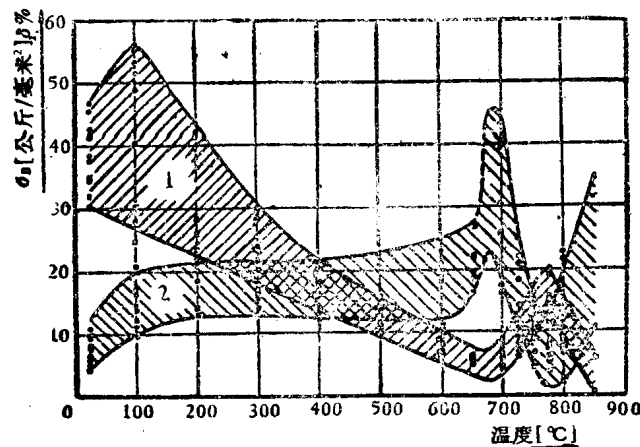


圖 1 溫度對熱軋鈾的機械性質的影響

試驗在氮氣中進行。在用來進行研究的爐子的爐內主要的雜質含量：
 $\text{Fe} = 5 \cdot 10^{-3} \sim 3 \cdot 10^{-2}\%$; $\text{Si} = 2 \cdot 10^{-3} \sim 4 \cdot 10^{-2}\%$; $\text{C} = 0.01 \sim 0.15\%$
 1——強度極限 [σ_0]; 2——相對延伸率 [δ]

在表 1 中列舉出個別的蠕變試驗結果，而在圖 2 上示出，在 20—600° 的溫度範圍內熱軋鈾的蠕變速度與應力的關係。鈾的蠕變速度隨着溫度的升高，特別是當溫度高於 400° 時急劇地增加。

表 1 鈾的抗蠕變性與溫度及應力的關係

試驗溫度 (°C)	應力 σ (公斤/毫米 ²)	加載瞬間內 的變形 (ϵ_0 %)	蠕變速度 (ν %/小時)	測量蠕變速度 的間隔(小時)	總的蠕變變形		附 注
					時間(小時)	ϵ %	
20	25	0.70	$2.3 \cdot 10^{-5}$	1100—3300	3300	1.12	試樣未斷裂
100	20	0.88	$7.3 \cdot 10^{-5}$	560—1050	1050	1.28	"
200	18	0.49	$2.7 \cdot 10^{-5}$	360—820	820	0.63	"
300	18	0.58	$1.6 \cdot 10^{-4}$	200—815	815	0.81	"
400	10	0.15	$6.1 \cdot 10^{-4}$	300—735	735	0.70	"
500	3	0.05	$1.1 \cdot 10^{-3}$	275—750	800	1.05	"
600	1	0.02	$2.0 \cdot 10^{-3}$	25—150	850	3.15	"

II. 热處理時鈾的組織和機械性質的變化

在我們的研究中，鈾的熱處理的主要形式是有條件地稱為淬火的操作。它是通過把金屬加熱到 β -或 γ -相的溫度及隨後在水或油中很快的冷卻來實現的。在這種情況下，術語“淬火”應該認為是有條件的，因為當普通純度的鈾這樣熱處理時，既未把高溫相也未把過渡相固定到室溫。

但是，淬火使得鈾的組織和性質急劇改變。

機械性質與淬火條件(加熱溫度，冷卻速度)的關係，以及加熱時淬火金屬的性質穩定

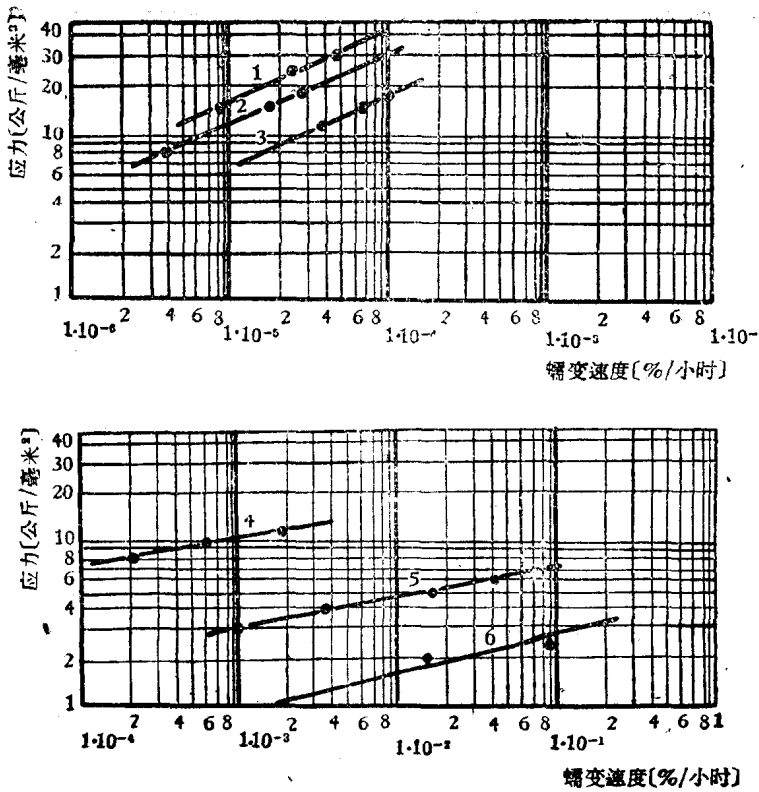


图 2 热轧钛蠕变速度的变化与温度和应力的关系

钛内主要杂质的含量:

$\text{Fe} = 4.8 \cdot 10^{-3}\%$; $\text{Si} = 1.4 \cdot 10^{-3}\%$; $\text{Ni} = 1.8 \cdot 10^{-4}\%$; $\text{C} = 0.01\%$

- 1—試驗溫度— 20° ; 2—試驗溫度— 200° ; 3—試驗溫度— 300° ;
- 4—試驗溫度— 400° ; 5—試驗溫度— 500° ; 6—試驗溫度— 600°

性曾被确定。

1. 钛的机械性质依赖于淬火条件的变化

从 β -及 γ -相的温度淬火使得金属的组织急剧地改变，并且显著地提高了在相应的温度范围内短时试验和长期试验时确定的强度特性(图3)。由 γ -区淬火后，观察到强度极限和屈服极限发生最大的变化(大约为室温时的60%)。这时，塑性特性改变很小。

图4说明淬火时钛的组织的变化。可以看到钛的晶粒显著的细化，并且晶粒细化的程度，与淬火钛的强度特性一样，决定于金属的化学成分及杂质，首先是铁、硅、镍、铝的含量(图5和6)。

曾确定，在淬火过程中冷却速度对淬火金属的性质有重要的影响。图7说明铸造的钛从 γ -区淬入水中性质的变化，水的温度在 20° 到 100° 之间变化。

当在各种不同的冷却剂中淬火时机械性质有类似的变化。这样，具有强度极限 38 公斤/毫米² 的热轧钛，从 950° (停留 30 分钟) 在水中淬火后强度极限的数值等于 64 公斤/毫米²，在油中淬火后为 45 公斤/毫米²，而在氩气流中淬火后为 40 公斤/毫米²。

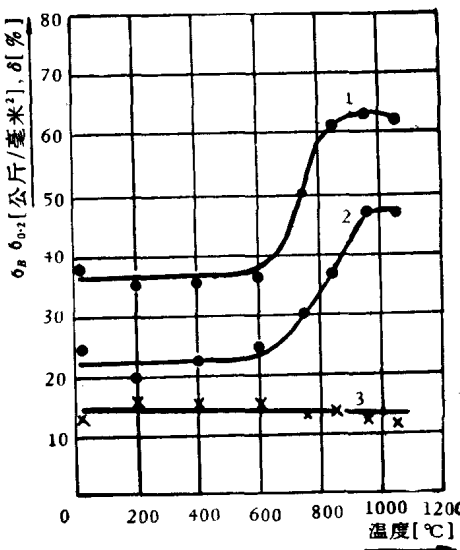


图3 热轧钛的机械性质的变化与淬火温度的关系。

淬火前持续时间30分钟；在油中冷却

钛内主要杂质的含量：

$Fe = 7 \cdot 10^{-3}\%$; $Si = 1 \cdot 2 \cdot 10^{-3}\%$; $C = 0.04\%$

1—强度极限—— σ_B [公斤/毫米²];

2—条件屈服极限—— $\sigma_{0.2}$ [公斤/毫米²];

3—相对延伸率—— δ [%]

2. 加热时淬火钛机械性质的变化

对于从 β -和 γ -区淬火的钛，强度特性的数值随着温度的提高而逐渐降低，但是在 α -区的所有温度仍旧比未淬火的钛在相应的温度时同一的特性为大(图8)。

淬火钛的蠕变试验结果使有可能确定，与铸造或热轧金属的抗蠕变性相比，由 β -和 γ -区淬火在温度低于 400° 时提高钛的抗蠕变性，而当更高的温度时则降低它(参看表2)。

在图9上列举出热轧和从 β -及 γ -区淬火的钛在 300° (a)和 500° (b)时得到的初期蠕变曲线，而在图10上指出了热轧的钛及同一炉号钛从 β -和 γ -相淬火后在 500° 时蠕变速度依赖于应力的变化。

当温度高于 300° 时，在变形过程中沿晶粒间界流动起显著的作用。因此具有较大间界表面的细晶体淬火金属的变形比粗晶粒的铸造或热轧钛的变形更为容易。低温时，已经知道，变形基本上是通过攀晶^[1]实现的，因此用淬火强化了的细晶体钛具有很大的变形抗力。

文献[2]中指出， 400° 时与未淬火的钛相比，淬火的钛具有较小的抗蠕变性。

曾确定，淬火提高了急剧加速蠕变的温度间隔达 30 — 40° 。这样，对于热轧的钛加速蠕变的开始区域位于 300 — 350° 的温度间隔内，而对于淬火的在 350 — 375° 的间隔内(图18)。

在图11上列举出淬火钛的机械性质随回火温度的变化图。

在 α -区的温度回火后，淬火钛保持高的强度极限和屈服极限的数值。仅仅在加热到

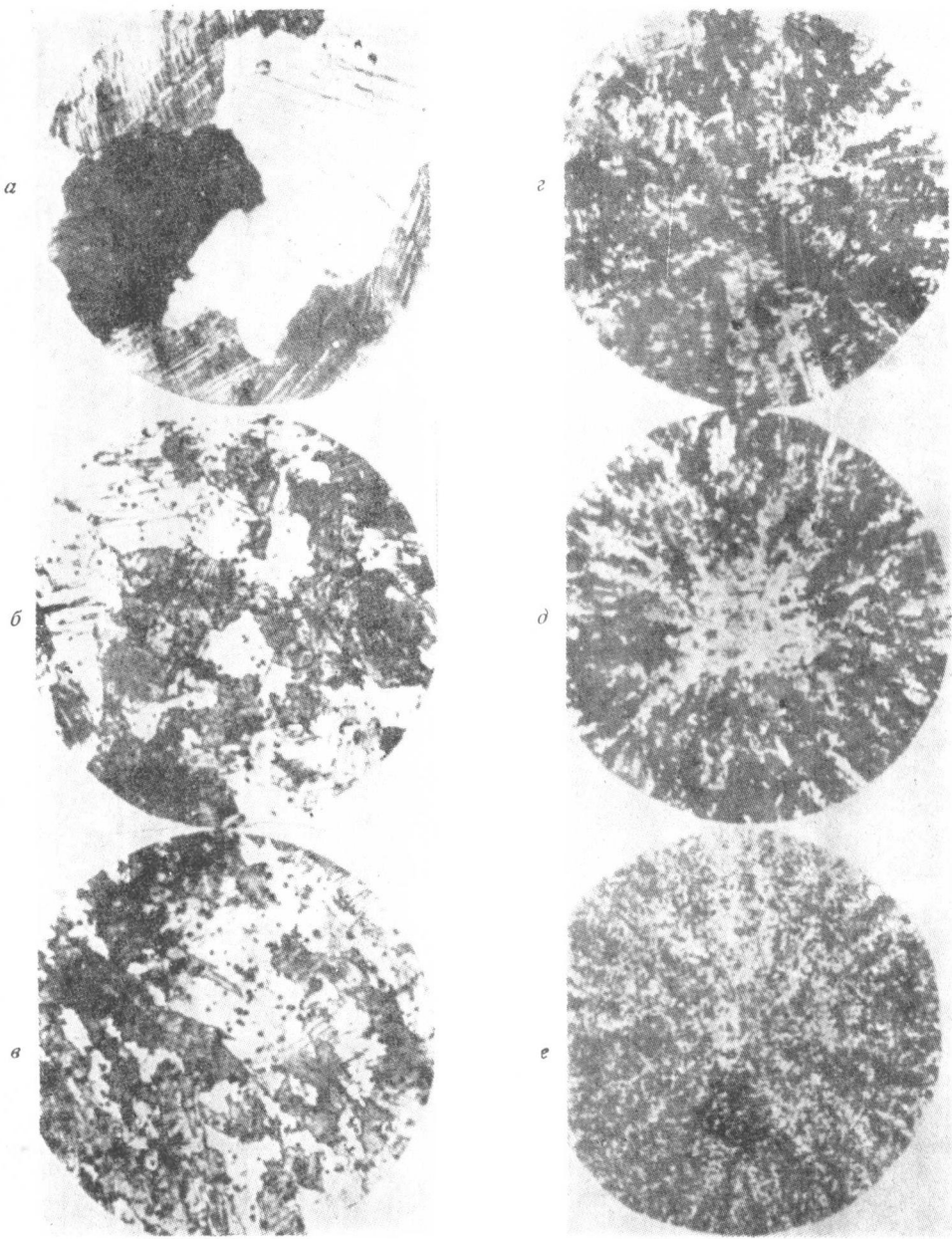


图 4 淬火时鈾的組織变化

a——鑄造鈾的顯微組織。鐵硅鋁的總含量 $1.5 \cdot 10^{-2}\%$ $\times 70$; b——由 γ -相淬火的鈾的顯微組織。鐵硅鋁的總含量 $5 \cdot 10^{-2}\%$ $\times 135$; c——由 γ -相淬火的鈾的顯微組織。鐵硅鋁的總含量 $1 \cdot 10^{-1}\%$ $\times 135$; d,e,f——相應為 a,b,c 試樣的宏觀組織 $\times 2$